



Aalborg Universitet

AALBORG UNIVERSITY
DENMARK

Normalkonsolideret og lettere forkonsolideret materiale

Thorsen, Grete; Knudsen, Børge; Kristensen, P. S.; Du-Thinh, Kien

Published in:
Laboratoriehåndbogen

Publication date:
2001

Document Version
Også kaldet Forlagets PDF

[Link to publication from Aalborg University](#)

Citation for published version (APA):

Thorsen, G., Knudsen, B., Kristensen, P. S., & Du-Thinh, K. (2001). Normalkonsolideret og lettere forkonsolideret materiale. I Dansk Geoteknisk Forening (red.), *Laboratoriehåndbogen* Lyngby. DGF-bulletin Nr. 15

General rights

Copyright and moral rights for the publications made accessible in the public portal are retained by the authors and/or other copyright owners and it is a condition of accessing publications that users recognise and abide by the legal requirements associated with these rights.

- ? Users may download and print one copy of any publication from the public portal for the purpose of private study or research.
- ? You may not further distribute the material or use it for any profit-making activity or commercial gain
- ? You may freely distribute the URL identifying the publication in the public portal ?

Take down policy

If you believe that this document breaches copyright please contact us at vbn@aub.aau.dk providing details, and we will remove access to the work immediately and investigate your claim.

Normalkonsolideret og lettere forkonsolideret materiale.

Grete Thorsen
Aalborg Universitet

Børge Knudsen
Geoteknisk Institut

Per Sandgaard Kristensen
COWI

Kien Du-Thinh
Danmarks tekniske Universitet

FORMÅL:

Bestemme en normalkonsolideret jordarts deformationsegenskaber i form af tøjningsindeks, Q (%)

Bestemme materialets forkonsoliderings-spænding, σ'_{pc} (kPa)

Bestemme materialets krybningsegenskaber i form af krybningstøjningsindeks, Q_s (%).

Bestemme materialets konsolideringskoefficient, c_k (m^2/s), hvorudfra den hydrauliske ledningsevne kan beregnes for den aktuelle belastningssituation.

MÅLTE VÆRDIER:

Sammenhørende værdier af deformation og tid for hvert belastningstrin.

VÆSENTLIGE BEGRÆNSNINGER:

Kun egenskaberne i det éndimensionale tilfælde bestemmes.

Drænvejen i apparatet kan ikke gøres identisk med forholdene in situ, hvilket indebærer usikkerhed på bestemmelsen af den hydrauliske ledningsevne.

Friktion mellem apparat og prøve kan bevirkе, at den vertikale spænding og spændingsvariation gennem et lasttrin ikke er helt kendt.

1. BAGGRUND OG FORMÅL

Formålet er at bestemme de éndimensionale konsolideringsegenskaber for en bestemt jordart, sammenhæng mellem effektiv spænding og tøjning samt mellem tid og tøjning.

Ved normalkonsolideret og lettere forkonsolideret jord anvendes ofte kun stamkurven

og en aflastningsgren. Ud fra stamkurven bestemmes tøjningsindekset, Q , og materialets konsolideringstilstand

Ud fra tidskurverne bestemmes konsolideringstøjningen, krybningstøjningen og konsolideringskoefficienten, c_k .

For at kunne udnytte forsøgsresultaterne direkte ved en senere sætningsberegnning, bør planlægning af forsøget altid ske på grundlag af den aktuelle opgave, således at der kan tages hensyn til alle forekommende ændringer i spændingstilstand.

2. UDSTYR

Det bedste udstyr er det danske konsolideringsapparat, udviklet af Moust Jacobsen. (Moust Jacobsen, 1967, Konsolideringsapparat, manual, 1977)

Apparatet består af en celle, hvori prøven sidder, samt en vægtarmspresse.

Prøvestørrelsen er $H \times D = 30 \times 60$ mm eller 35×70 mm

Cellens fodstykke udgøres af en bundplade, der samtidig er nedre trykhoved, bund i den skål, som prøven befinder sig i og fastgørelsested for de to deformationsmålere, der mäter øvre trykhoveds bevægelse i forhold hertil.

Filterstenen i det nedre trykhoved er i forbindelse med et lille rør, der rager op i bundpladen. Cellen består desuden af et øvre trykhoved, en meget tyk ring omkring prøven, to deformationsmålere med holdere samt en plexiglasylinder, der sammen med bundpladen danner en tæt skål for bassinet omkring prøven. Tætningen udgøres af en O-ring, der ligger i en rille på siden af bundpladen. Ringen omkring prøven

svømmer i bassinet, for at minimere friktion mellem prøve og ring, fig. 1.

Vægtarmen er udført i et RHS-profil, udvekslingsforholdet er 1:10 og justerbart. Loddvægten overføres til vægtstangen gennem knive, men vægtstangen er iøvrigt ophængt i kuglelejer. Vægtarmen kan monteres under et bord, således at kun selve belastningsåget og den plade, hvorpå cellen står, er synlig over bordet, fig. 2.

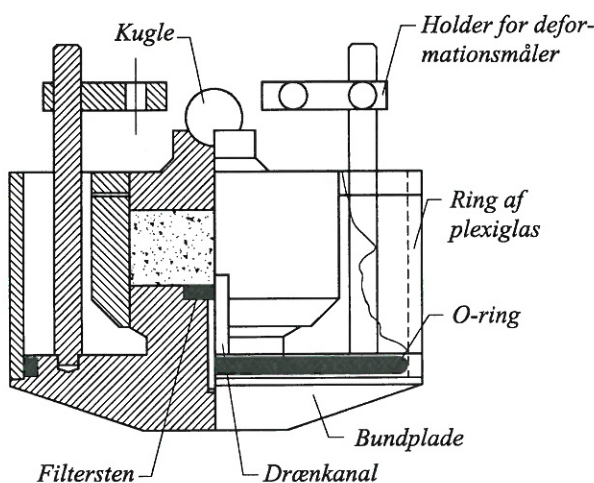


Fig. 1. Konsolideringscellen.
(Moust Jacobsen, 1967)

3. FORSØG

Prøven tildannes omhyggeligt. For meget bløde jordarter, hvor tildannelse er umulig, kan prøven forsigtigt presses direkte fra prøveoptager til konsolideringsring, såfremt den indre diameter i prøveoptager og ring er identiske.

Forsøget udføres med trinvis forøgelse af den vertikale effektive spænding. For hvert belastningstrin registreres sammenhørende værdier af tid og deformation. Tidsforløbet bør have en varighed, så krybningsdekadehældningen, ϵ_s , kan bestemmes.

Belastningsforøgelsen bør for hvert trin være så stor, at deformationen ved konsolideringsprocessen overskridt krybnings-

deformationen i det foregående trin. Ofte anvendes en fordobling af belastningen ved hvert trin.

De vertikale spændinger på prøven bør forøges så meget ud over forbelastnings-spændingen, at tøjningsindekset, Q, og dermed materialets stamkurve kan bestemmes.



Fig. 2. Konsolideringsapparat

4. RESULTATER

4.1 Tidskurver

For hvert belastningstrin optegnes en tidskurve som vist på fig. 3. Da tøjningerne under de første 70% af konsolideringsprocessen stort set varierer retlinet med \sqrt{t} , og krybningen er en logaritmisk funktion, afsættes første del af tidskurven som funktion af \sqrt{t} og sidste del som funktion af $\log t$. Herved opnås, at tidskurven kan tilnærmes ved to rette linier. En forudsætning er, at skæringspunktet mellem de to rette linier ligger i overgangen mellem \sqrt{t} og $\log t$ skalaen. (Brinch Hansen, 1961)

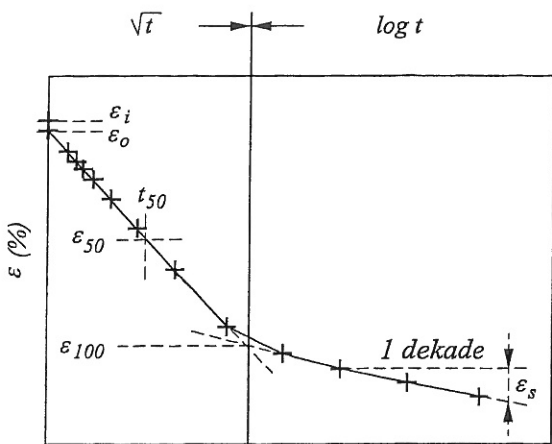


Fig. 3. Tidskurve.

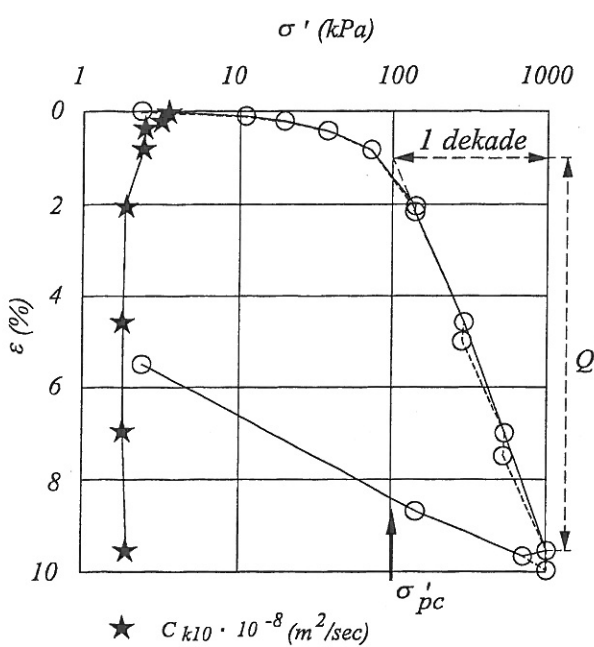


Fig. 4. Arbejdskurve. Sammenhørende værdier af log σ' og ε %.

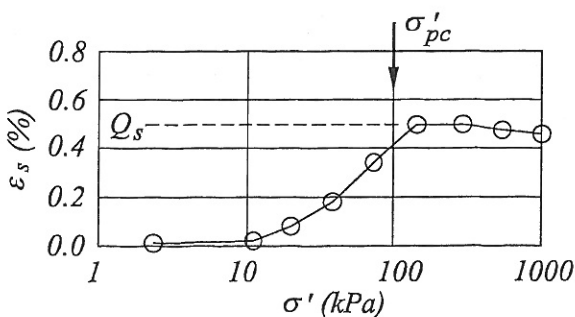


Fig. 5. Variation af ε_s med log σ'.

Ud fra tidskurverne bestemmes (Brinch Hansen, 1961, Hansen, 1978):

- *initial tøjning : ϵ_i (%)
- *konsolideringens starttøjning : ϵ_0 (%)
- *tøjning ved 100% konsolidering : ϵ_{100} (%)
- *krybningsdekadehældningen : ϵ_s (%)
- *konsolideringskoefficienten : c_k (m^2/s)

$$c_k = 0.2 H_D^2 / t_{50} = kK / \gamma_w$$

H_D = drænvejen, som er afhængig af filterstenenes størrelse og placering, jfr. afsnit 5.1.2

t_{50} = tiden for 50% konsolideringstøjning

K = konsolideringsmodul (kPa),

k = hydraulisk ledningsevne (m/s) kan for et belastningstrin beregnes ud fra c_k og K , hvor $K = \Delta\sigma' / (\epsilon_{100} - \epsilon_0)$

4.2 Arbejdskurver

Ud fra de ved tidskurverne for hvert belastningstrin bestemte værdier optegnes:

- en kurve med sammenhørende værdier af log σ' og konsolideringstøjning, ϵ_{100} , samt variationen af konsolideringskoefficienten ved 10^0 C, c_{k10} , med spændingsniveauet, jfr. fig. 4.
- en kurve over variationen af krybningsdekadehældningen, ϵ_s , med den effektive spænding, jfr. fig. 5.
- en kurve over variationen af konsolideringsmodulen, K , med den effektive spænding. K beregnes som sekanten for hvert belastningstrin:

$K = (\sigma_{i+1} - \sigma_i) / (\epsilon_{100,i+1} - \epsilon_{100,i}) \sim$ tangenten til kurven ved middelspændingen for det aktuelle belastningstrin, jfr. fig. 6.

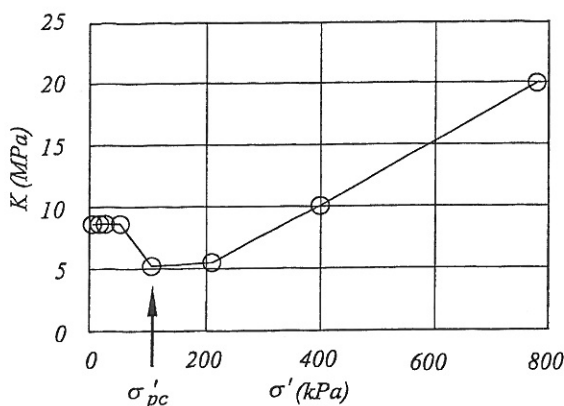


Fig. 6. Variation af konsolideringsmodul med den effektive spænding

Ud fra forsøgets arbejdskurver bestemmes:

- 1) Tøjningsindeks (Dekadehældning) $Q =$ tilvækst i konsolideringstøjning pr. dekade for spændinger over forbelastningsspændingen.
- 2) Forbelastningsspændingen $\sigma'_{pc} =$ den tilsyneladende maksimale spænding, som materialet har været utsat for. En spænding, som er opnået dels ved belastning af materialet dels ved krybning i materialet. Den tilsyneladende forbelastning kan bestemmes på flere måder (Thorsen, 1995):

- fra fig. 4 - indenfor det belastningstrin, der er umiddelbart før den retlinede variation mellem $\log \sigma'$ og ϵ_{100} , og en samtidig ændring i c_{k10} .
- fra fig. 5 - indenfor det belastningstrin, der er umiddelbart før ϵ_s opnår den maksimale værdi, Q_s .
- fra fig. 6 - indenfor det belastningstrin, hvor konsolideringsmodulen, K , fra en næsten konstant værdi bliver mindre for derefter at vokse med spændingen (svarende til normalkonsolideret tilstand).

- 3) Krybningstøjningsindeks, $Q_s =$ den maksimale værdi for ϵ_s , bestemt som krybningsdekhældningen på det belastningstrin,

hvor den tilsyneladende forbelastningsspænding overskrides, fig. 5.

- 4) En aktuel værdi for den hydrauliske ledningsevne ved $10^0 C$, k_{10} , som beregnes ud fra de angivne værdier for c_{k10} (fig. 4), og den aktuelle værdi for K .

5. RAPPORT

Rapporten bør indeholde de i afsnit 5.1 nævnte oplysninger om udstyr, prøvemateriale og klassifikationsparametre.

Af direkte forsøgsresultater bør rapporten indeholde de arbejdskurver, der er omtalt på foregående side, og vist på fig. 4 - 6, samt en angivelse af de parametre, der er fundet herfra, tøjningsindeks, Q , forbelastningsspænding, σ'_{pc} , og krybningstøjningsindeks, Q_s .

Herudover bør rapporten indeholde en skematisk oversigt over de for hvert belastningstrin (både be- og aflastningstrin) bestemte værdier for:

konsolideringstøjning	ϵ_{100}	(%)
konsolideringskoefficient	c_{k10}	(m ² /s)
krybningsdekhældning	ϵ_s	(%)
konsolideringsmodul	K	(kPa)

Rapporten bør desuden indeholde retningslinier for anvendelse af forsøgsresultaterne i forbindelse med den konkrete opgave, der har givet anledning til forsøgets udførelse.

6. REFERENCER

Se afsnit 5.3

7. NØGLEORD

Dekadehældning, forkonsolideringsspænding, hydraulisk ledningsevne, konsolideringskoefficient, krybningsdekhældning, krybningstøjningsindeks, tøjningsindeks.